



Особенности численного решения кинетического уравнения для гравитационных волн на воде

**В.Г. Полников,
ИФА им. А.М. Обухова РАН, г. Москва,
polnikov@mail.ru**



Цель расчетов не число, а понимание.

Р.В Хемминг.

(Численные методы
для научных работников и инженеров, 1968)

Содержание

- 1. Историческая справка**
- 2. Постановка задачи. Метод решения**
- 3. Асимптотики НЛ-переноса**
на первом шаге счета КУ
- 4. Форма спектров решений КУ**
- 5. Асимптотики НЛ-переноса**
на больших временах счета КУ
- 6. Интерпретация решений КУ**
- 7. Выводы**
- 8. Литература**



Историческая справка



Рассматривается (чистое) кинетическое уравнение (КУ) вида

$$\partial S(\omega, \theta) / \partial t = I_{NL}[S(\omega, \theta)] \quad , \quad (1)$$

где $I_{NL}[S]$ - четырехволновый кинетический интеграл (КИ) Хассельманна(1962), кубический по спектру $S(\omega, \theta)$ или $S(\mathbf{k})$ вида

$$I_{NL}[S(\mathbf{k})] = 4\pi \iiint M_{\mathbf{k}, \mathbf{k}_1, \mathbf{k}_2, \mathbf{k}_3}^2 F_3(S_{\mathbf{k}}, S_{\mathbf{k}_1}, S_{\mathbf{k}_2}, S_{\mathbf{k}_3}) \delta(\mathbf{k} + \mathbf{k}_1 - \mathbf{k}_2 - \mathbf{k}_3) \delta(\omega + \omega_1 - \omega_2 - \omega_3) d\mathbf{k}_1 d\mathbf{k}_2 d\mathbf{k}_3$$

Формально, интеграл $I_{NL}[S]$ сохраняет энергию, волновое число и импульс волн (при условии сходимости интеграла...).

Распространены 2 подхода к расчету КИ: 1) с точным интегрированием дельта-функций (Масуда 1980; Полников 1989; Лавренов 1998), 2) с преобразованием КИ в интеграл по поверхности (Вебб 1978, Резио и др 1991, ван Вледдер 2006), получивший название WRT-метод .

В работе (Полников 1989) был существенно усовершенствован алгоритм Масуды(1980). Впервые решение КУ (1) было выполнено в работе (Полников 1990).



Историческая справка



В ней (Полников 1990) было показано установление универсальной формы спектра в решении КУ, а в (Полников 1994) – установление спектров колмогоровского типа $S(\omega) \sim \omega^{-4}$ и $S(\omega) \sim \omega^{-11/3}$ (т.н. спектры КЗ, Захаров и соавт. 1966,1982), при наличии накачки In и диссипации Dis в обобщенном КУ вида

$$\partial S(\omega, \theta) / \partial t = I_{NL}[S(\omega, \theta)] + In(\omega, \theta) - Dis(\omega, \theta) \quad (2)$$

В работе Коматсу и Масуда(1996) было показано, что в решении КУ (1) устанавливается хвост спектра $S(\omega) \sim \omega^{-4}$.

Анализом таких решений занимались Лавренов (2002), Пушкарев и др. (2003), Бадулин и др. (2005)(и др.). Они решали КУ вида (2) и изучали динамику установления спектров КЗ.

Однако асимптотики функции нелинейного переноса(НЛП)

$$NI(\omega, \theta) \equiv I_{NL}[S(\omega, \theta)]$$

и 2D-форма установившегося спектра пока остаются мало изученными. Эти вопросы и являются объектом исследования



Постановка задачи



**Задачи данной работы включают изучение
следующих вопросов**

- **асимптотика одномерного НЛ переноса $Nl(\omega)$ на высоких частотах ($\omega \gg 2\omega_p$) на первом шаге решения КУ для различных форм начальных спектров вида JONSWAP;**
- **форма хвоста одномерного спектра $S(\omega)$ ($\omega > 2\omega_p$) на больших масштабах его эволюции ($t > 10^4 \cdot 1/\omega_p$);**
- **асимптотика одномерного переноса $Nl(\omega)$ на высоких частотах ($\omega \gg 2\omega_p$) при больших временах эволюции спектра ($t > 10^4 \cdot 1/\omega_p$) для различных форм начальных спектров;**
- **зависимость интегральных параметров формы 2D-спектра $S(\omega, \theta)$ при $t > 10^4 \cdot 1/\omega_p$ от начальных условий;**
- **оценка изменчивости полной энергии и волнового действия и их потоков в ходе численной эволюции спектра волн;**
- **трактовка полученного решения КУ в свете работ Захарова и соавторов (ДАН 1966 и ФАО 1982).**



Метод решения задачи



1. Решается кинетическое уравнение (1) (без накачки и дисс)

$$\partial S(\omega, \theta) / \partial t = I_{NL}[S(\omega, \theta)] \quad (1)$$

2. Начальный спектр задается в форме JONSWAP (Комен и др. 1994)

$$S_J(\omega, \theta, n, \gamma) = S_{PM}(\omega, n) \gamma^{\left\{ (\omega/\omega_p - 1)^2 / 2\sigma^2 \right\}} \Psi(\theta) \quad (3)$$

где

$$S_{PM}(\omega, n) = \omega^{-n} \exp\left[-(n/4)(\omega_p/\omega)^4\right] \quad (4)$$

спектр Пирсона-Московица, обобщ. на произв. степень спек. n .

Начальная частота пика $\omega_p(0)$ всегда равна 2 рад/с.

3. Асимпт-1ш КИ (и решение КУ) выполняются в (ω, θ) - области

$$[0.64 \leq \omega \leq 80(\underline{7}) \text{ rad/s}; -180^\circ \leq \theta \leq 180^\circ] \quad (5)$$

на сетке

$$\omega_i = \omega_1 q^{i-1} \text{ при } \omega_1 = 0.64 \text{ p/c}, q = 1.05, 1 \leq i \leq I = 100(\underline{50}) \text{ и } \Delta\theta = 5^\circ(\underline{10}^\circ). \quad (6)$$

4. Используются алгоритмы счета КИ по работе Полников (ФАО 1989) и числ. решения КУ по работе Полников (ФАО 1990).

5. Оценка потока эн (P_E) вып. по ф-ле

$$P_E(\omega) = - \int_{\omega_{min}}^{\omega} \left(\int NI(\omega, \theta) d\theta \right) d\omega \quad (7)$$



Результаты.

Асимптотика НЛП на 1м шаге



На сетке [$0.64 \leq \omega \leq 80$ р/с; $-180^\circ \leq \theta \leq 180^\circ$] рассчитан КИ для ряда начальных спектров вида (3-4) и оценена асимптотика НЛП вида $Nl(\omega) = c \cdot \omega^p$.

Результаты представлены на рис. 1-5 и в Табл.1

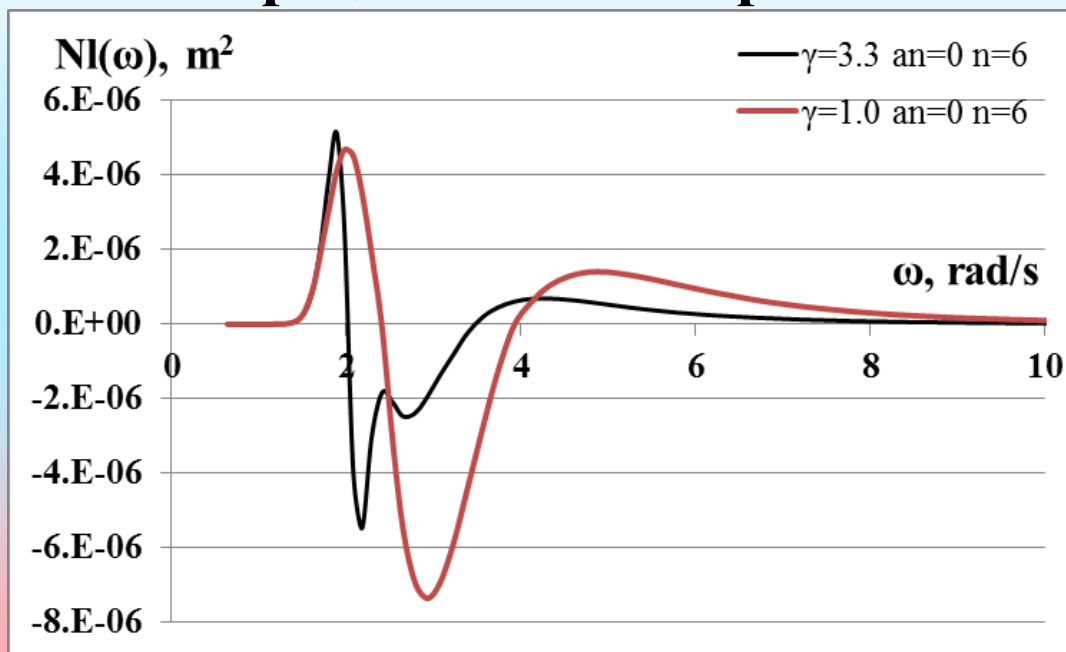
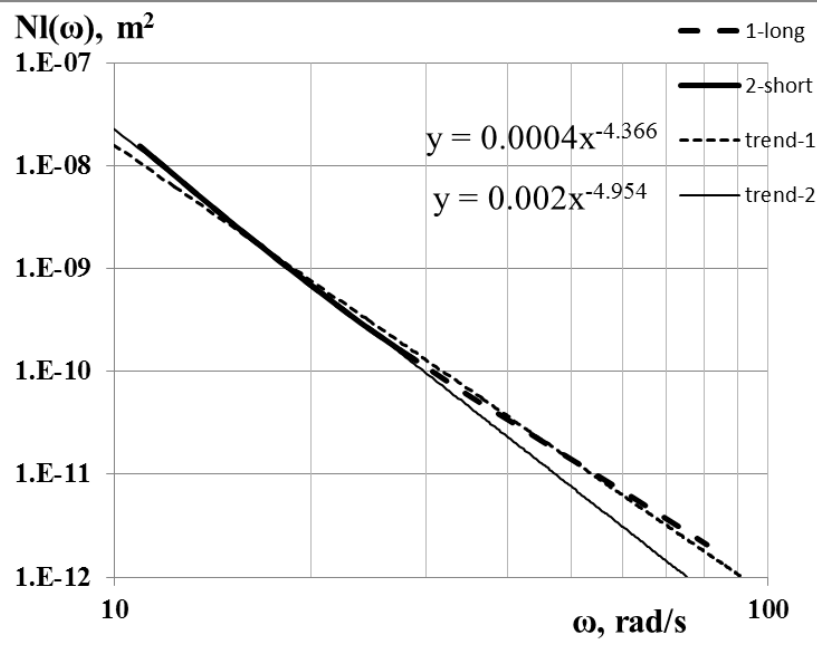


Рис. 1. Низ.Част. часть НЛП для $S(\omega, \theta)$ с парам. $n=6$, $\gamma=3.3$; 1.0 и $\psi = \text{const.}$ (далее изотропный спектр, $\psi=c$, имеет обозн. $a_n=0$)

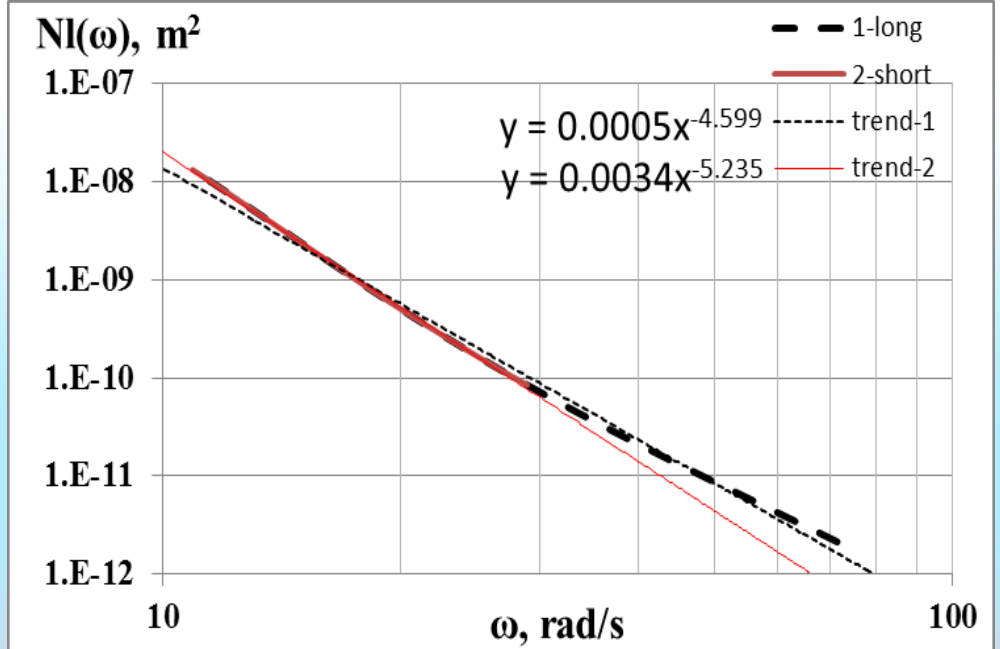
**Видно, что хвост НЛП положителен (>0)
и гладко спадает при $\omega \gg 2\omega_p$.**



ВЧ асимптотики НПЛ на 1вом шаге



а) $\gamma = 3.3, n=6, a_n=0$



б) $\gamma = 1.0, n=6, a_n=0$

Рис.2. Асимптотики ВЧ хвоста спектра.

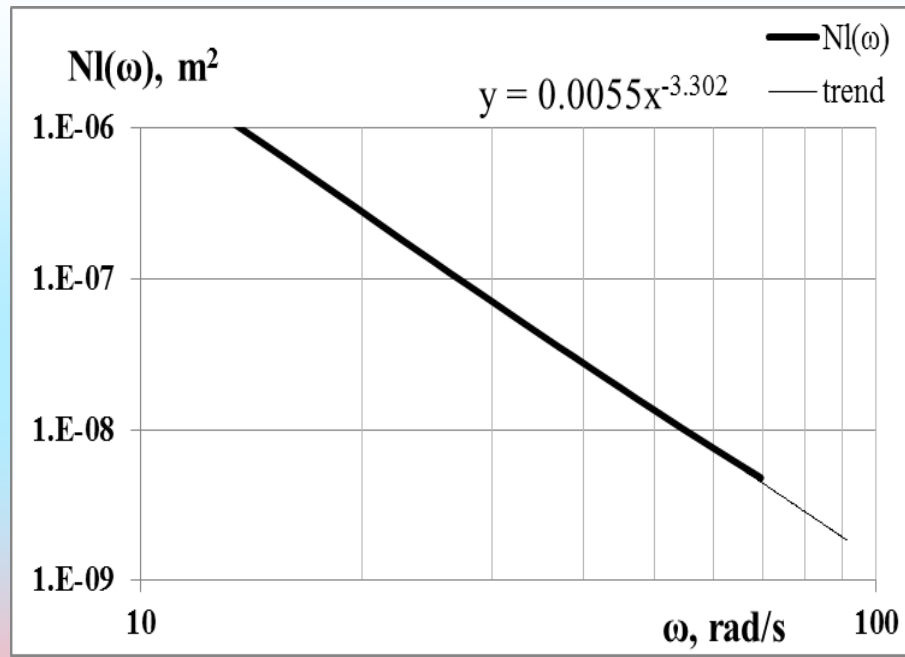
- Видно, что 1) хвост имеет меняющийся наклон.
- 2) В промежут обл ч. он близок к величине $p \approx n-1$ ($NI(\omega) \sim \omega S(\omega)$).
- 3) На всем хвосте спад $NI(\omega)$ идет слабее спада $\omega S(\omega)$.
- 4) С уменьш. парам. γ , степень спада НЛП p увеличивается (что характеризуется как нелокальность НЛ взаимодействия).



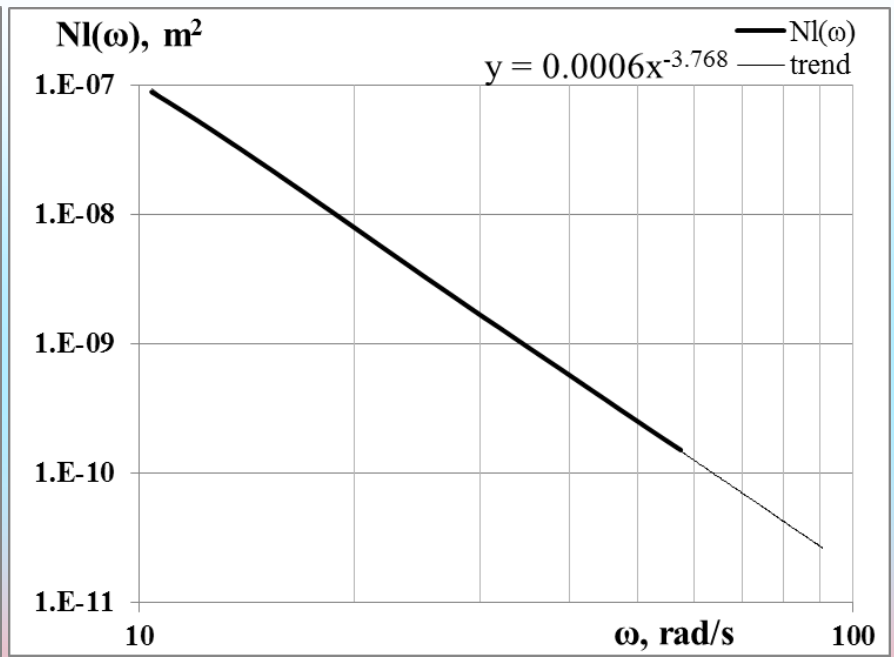
ВЧ асимптотики НПЛ на 1вом шаге



То же самое для спектров с пар., $n=5$, $a_n=0$ (рис.3)



$\gamma = 3.3$



$\gamma = 1.0$

Рис. 3. Асимптотики ВысЧаст хвоста спектра

При $n=5$, $a_n=0$,
спад спектра имеет единый наклон (!), но $p < n-1$,
и p растет с уменьшением γ .

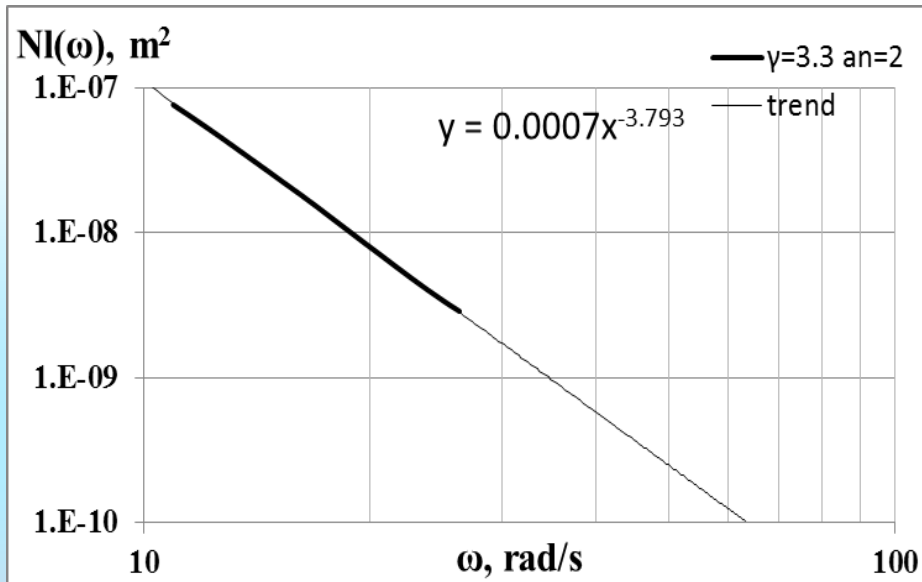
!! Хвост $NI(\omega)$ чувствует форму пика $S(\omega)$ (нелокальность)!!



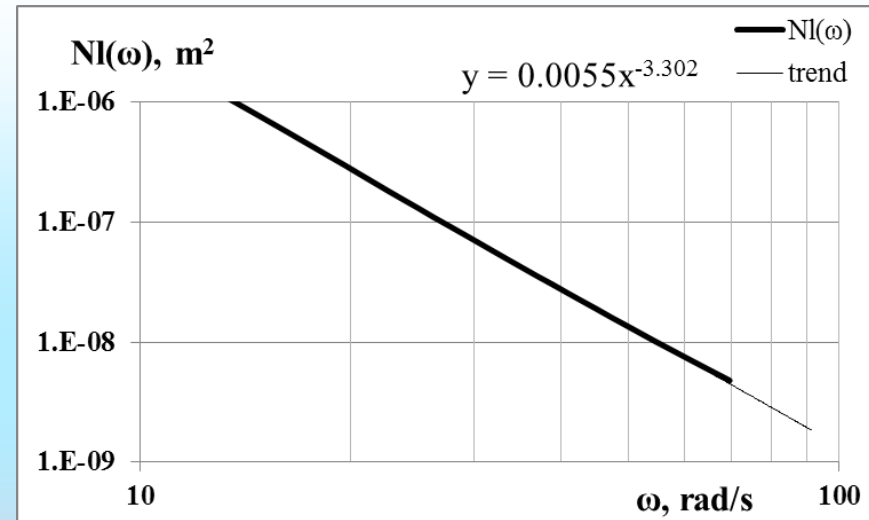
ВЧ асимптотики НПЛ на 1вом шаге



То же для спектра с пар. $\gamma = 3.3$, $n=5$, $an=2$ ($\cos^2(\theta)$)



$\gamma = 3.3$, $n=5$, $an=2$



$\gamma = 3.3$, $n=5$, $an=0$

Рис. 4. Асимптотики ВысЧаст хвоста спектра для двух уг. ф. Ψ .

Видно, что увеличением угловой направленности спектра скорость спадания хвоста НПЛ увеличивается.

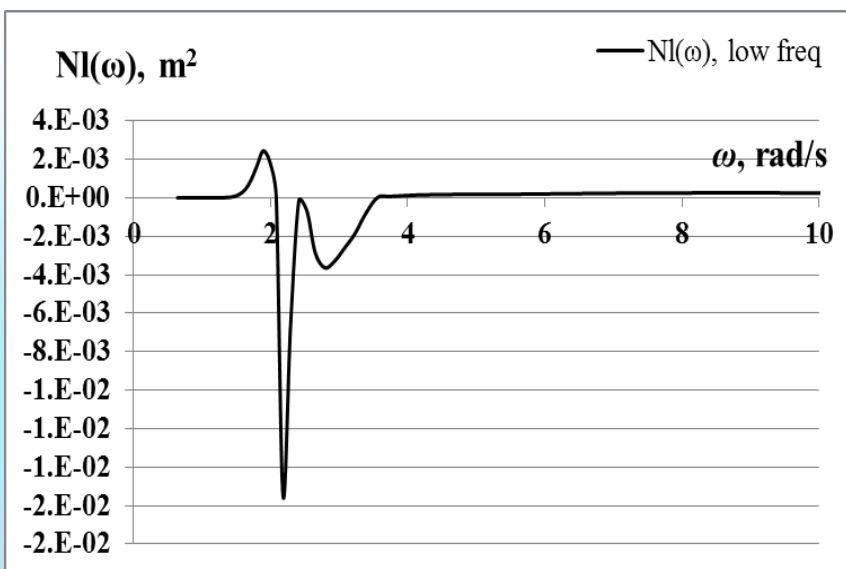
!! Хвост NI(ω) чувствует угловую форму S(ω) !!



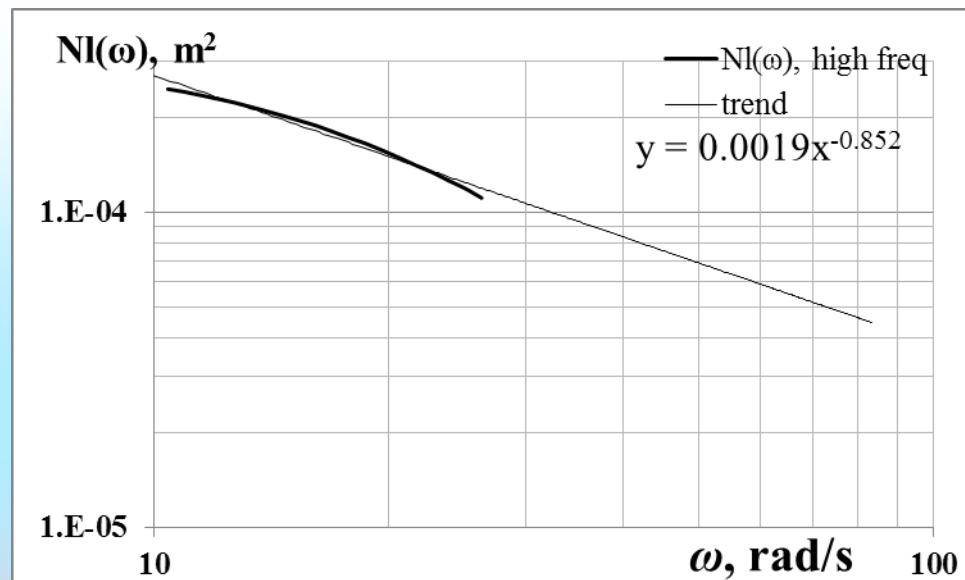
ВЧ асимптотики НПЛ на 1вом шаге



Сложнее дело обстоит со спектром при $n=4$ (рис.5)



а)



б)

Рис.5. НПЛ (а) и его ВЧ асимптотика (б) для сп с пар. $\gamma = 3.3$, $n=4$, $a_n=0$.

**Видно, что для спектра с хвостом $S(\omega) \sim \omega^{-4}$,
хвост НПЛ хоть и мал, но не равен нулю(!).**

**При станд. форме пика и $\omega > 2\omega_p$ НПЛ еще положит ($NI(\omega) > 0$),
но медленно спадает,**

демонстрируя изменчивость степени спадаания p .



ВЧ асимптотики НЛП на 1вом шаге



Общий результат по асимптотикам представлен в табл.1.

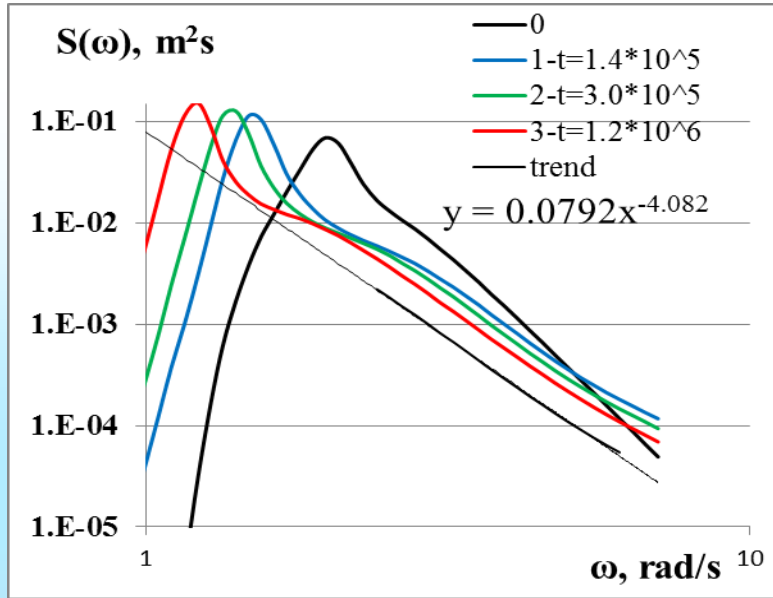
Таблица 1. Асимптотика НЛП для разл. форм нач. спектров.

№ вар.	Начальный спектр			Асимптотика
	n	γ	$\Psi(\theta)$	p
1	6	3.3	const	4.4(4.9)
2	6	1.0	const	4.6(5.2)
3	5	3.3	const	3.3
4	5	1.0	const	3.8
5	5	3.3	$\cos^2(\theta)$	3.8
6	4	3.3	const	(0.85)

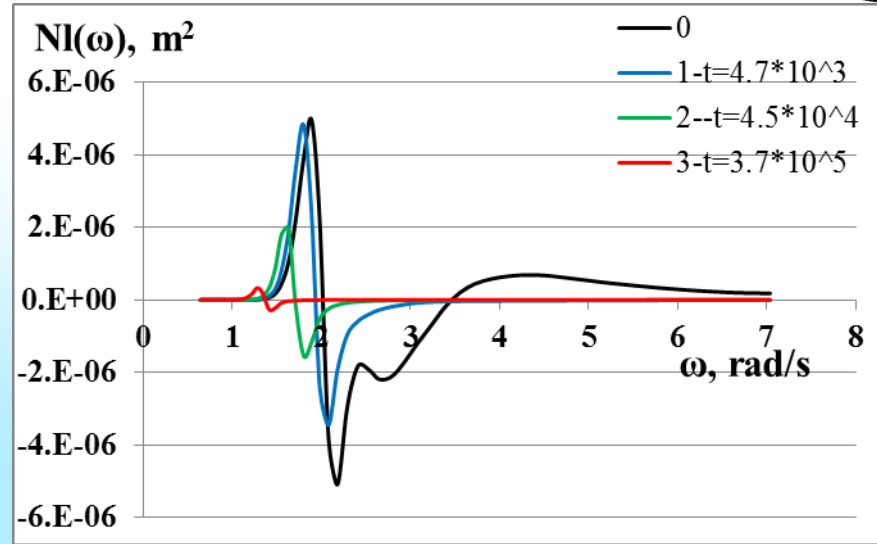
Примечание. В скобках указан закон спадания НЛП для малой части полосы частот хвоста.



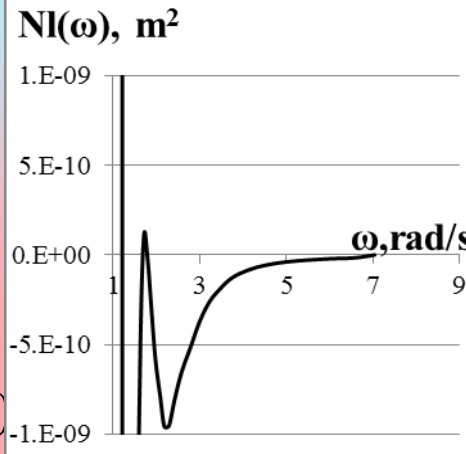
Форма спектров и НЛП на больших t



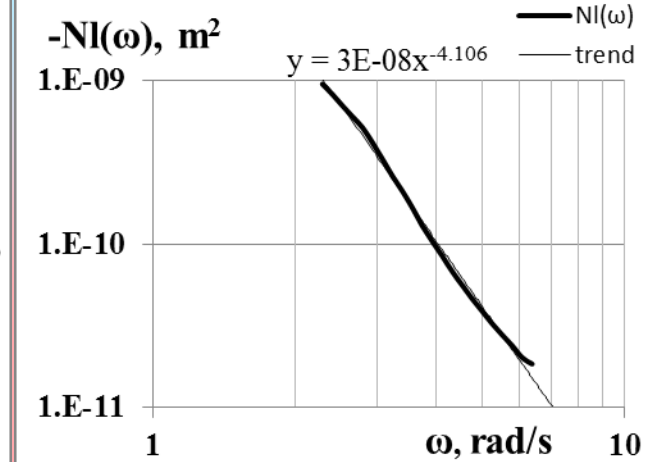
а)



б)



в)



г)

Рис. 6. $S(\omega, 0)$ $n=6$, $\gamma=3.3$, $an=0$:
 а) эволюция $S(\omega, t)$,
 б) эволюция $NI(\omega, t)$
 в) часть $NI(\omega)$, г) ВЧ-тренд $NI(\omega)$

При $t > 10^4 \cdot 1/\omega_p$ хвост $S(\omega) \sim \omega^{-4-\varepsilon}$ (!)

Хвост НЛП $NI(\omega) < 0$ (!!), очень мал, и быстро спадает: $NI(\omega) \sim -\omega^{-4.1}$ (!!)



Форма спектров и НЛП на больших t

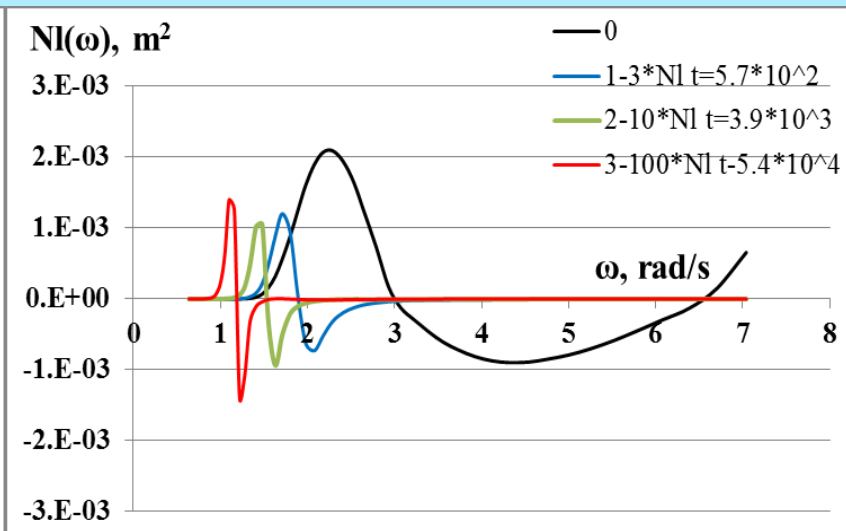
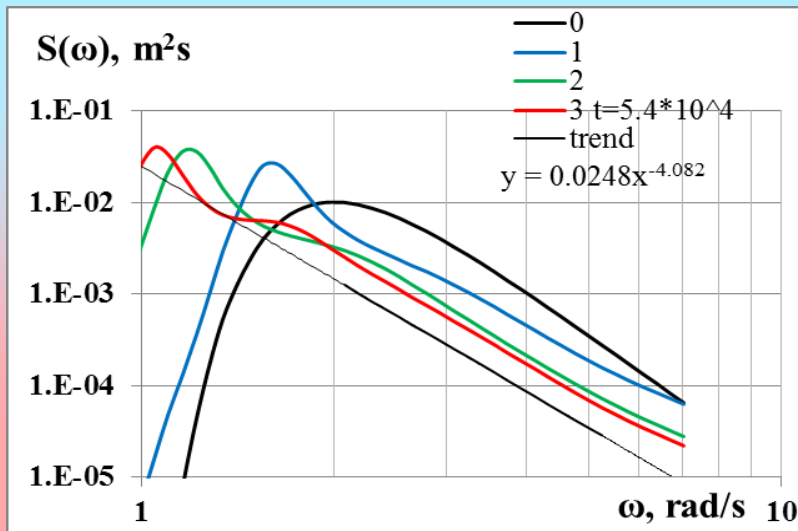
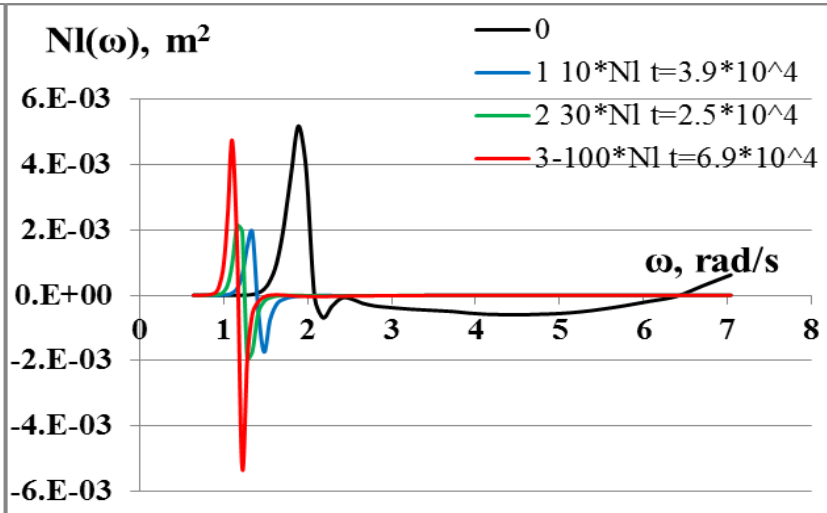
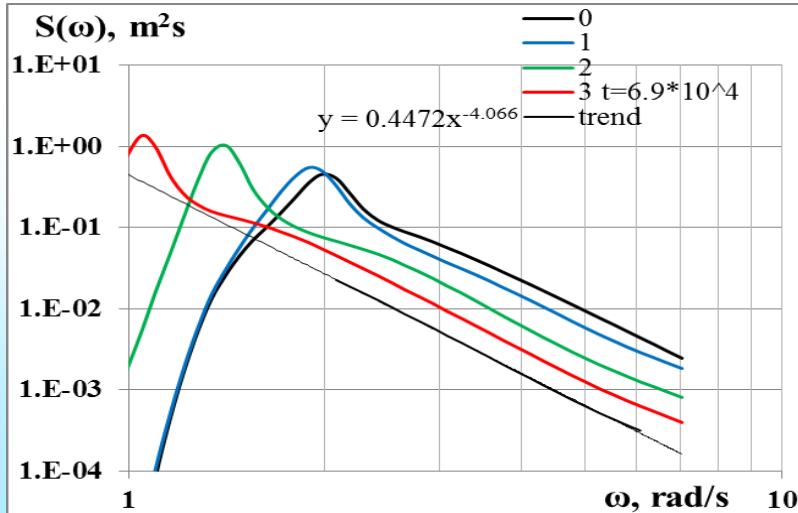


Рис.7. Верх ряд: $n=4, \gamma=3.3, a_n=0$, ниж.ряд: $n=4, \gamma=1.0, a_n=0$.

При $t=0$ всегда хвост $NI(\omega)$ велик(!), но при $t > 10^4 \cdot 1/\omega_p$ $NI(\omega) \sim -\omega^{-4.1-\varepsilon}$ (!!!)¹⁴



Интегральные характеристики $S(\omega, \theta)$



Автомодельная форма установившихся 2D-спектров $S_{am}(\omega, \theta)$ визуально представлена в (Полников 1990, Бадулин и др 2005, и др).

A/M спектры имеют узконаправленный пик и широконаправленный хвост.

Количественно форма 2D-спектров может характеризоваться частотной шириной

$$B = \sigma^2 / \omega_p S_p \quad (8)$$

где $\sigma^2 = \int_0^\infty \int_0^{2\pi} S(\omega, \theta) d\omega d\theta = E$, - дисперсия возвышений, пропорц-я энергии волн E , и функцией угловой направленности

$$A(\omega) = S(\omega, \theta_p) / S(\omega) \quad (9)$$

Например,

для спектра $J(\gamma=3.3; 5)$ $B=0.34$, для ПМ($\gamma=1.0; 5$) $B=0.67$.

При $\Psi = \text{const}$ $A_p = 0.16$; $\Psi = \cos^2(\theta)$ $A_p = 0.64$; $\Psi = \cos^{12}(\theta)$ $A_p = 1.4$.

Общие результаты оценок параметров формы $S_{am}(\omega, \theta)$ ₁₅ представлены в табл. 2.



Асимптотики $Nl(\omega)$ и интегральные характеристики $S(\omega, \theta)$



Таблица 2. Асимптотики $Nl(\omega)$ и параметры $S(\omega, \theta)$ на большом времени эволюции (счета КУ)

№ варианта	Начальный спектр			Время эволюции, сек;	Асимп. $Nl(\omega)$	Параметры $S(\omega)$	
	n	γ	$\Psi(\theta)$		p	$B*100$	A_p*100
1	6	3.3	const	$1.3 \cdot 10^6$	4.1	22	16
2	6	1.0	const	$4.2 \cdot 10^6$	4.2	25	16
3	5	3.3	const	$1.3 \cdot 10^5$	4.1	25	16
4	5	1.0	const	$7.9 \cdot 10^5$	4.2	25	16
5	4	3.3	const	$6.9 \cdot 10^4$	4.1	23	16
6	4	1.0	const	$5.4 \cdot 10^4$	4.2	26	16
7	5	1.0	$\cos^2(\theta/2)$	$4.1 \cdot 10^6$	4.2	32	46
8	5	1.0	$\cos^8(\theta/2)$	$3.6 \cdot 10^6$	4.1	34	63
9	5	1.0	$\cos^2(\theta)$	$4.1 \cdot 10^5$	4.2	33	64
10	5	1.0	$\cos^4(\theta)$	$8.7 \cdot 10^6$	4.2	33	66
11	5	3.3	$\cos^{12}(\theta)$	$5.6 \cdot 10^6$	4.2	31	61

Особенности формы $S_{am}(\omega, \theta)$ и асимптотик $Nl(\omega)$ таковы

1) спектр $S_{AM}(\omega) \sim \omega^{-4}$, 2) ВЧ асимптотика $Nl(\omega) \sim \omega^{-4.1-\varepsilon}$.

3) частотная форма пиков спектра $S_{am}(\omega, \theta)$ бывает двух типов:

узкополосная ($B=0.23 \pm 0.02$ при $\Psi_{t=0} = c$);

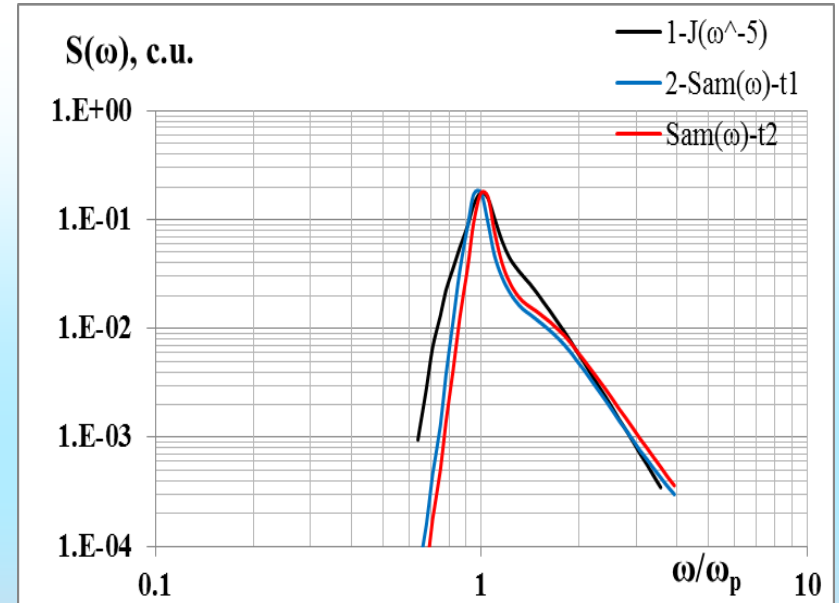
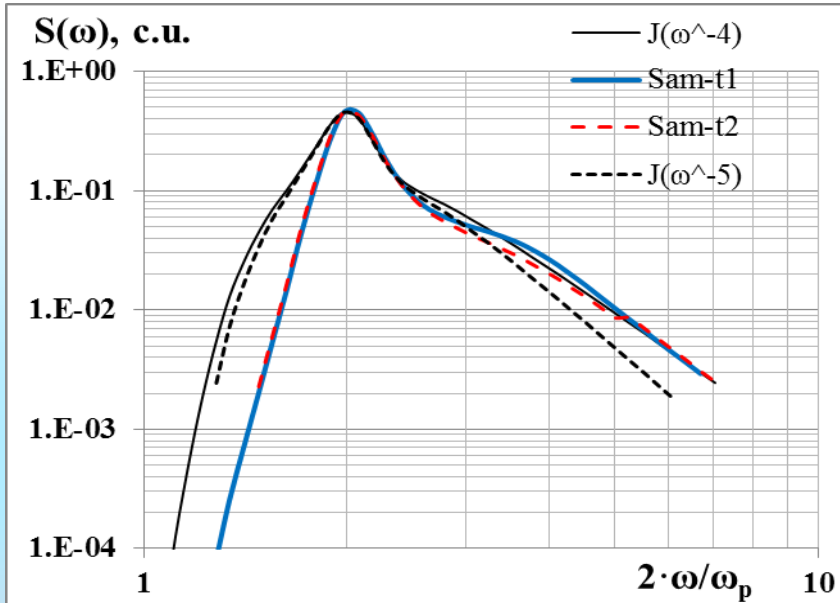
и среднеполосная ($B=0.33 \pm 0.01$ при $\Psi_{t=0} \neq c$), т.е. типа $J(\omega) \cos^2 \theta$.



Детали формы 2D-спектров

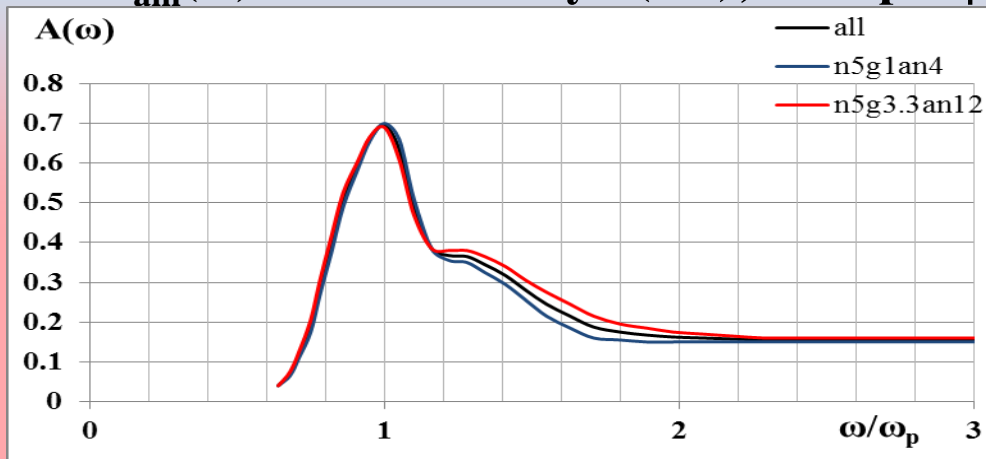


Сравнение формы $S_{am}(\omega)$ с формой спектра $J(\omega)$



При $\psi \neq c$, пик $S_{am}(\omega)$ подобен пику $J(\omega^{-5})$;

при $\psi = c$, пик $S_{am}(\omega)$ в 1.5раз уже



В области частот $\omega_p < \omega < 2 \omega_p$ имеет место резкий переход от узкого сп. к изотропному

Рис.9. Типичный вид а/модельной угловой функции $A(\omega)$ при $\psi \neq c$.



Поиск интерпретации решений КУ



Для интерпретации **установившейся формы спектра** нужно

1. Рассчитать функции потоков $P_E(\omega)$ и $P_N(\omega)$

где
$$P_E(\omega) = - \int_{\omega_{min}}^{\omega} \int NI(\omega, \theta) d\theta d\omega$$
 и
$$P_N(\omega_{max}) = - \int_{\omega_{min}}^{\omega} \int (NI(\omega, \theta) / \omega) d\theta d\omega$$
 (10)

2. Оценить степ. сохр. **полной энергии ΔE** и **волнов. числа ΔN** ,

где
$$\Delta E = \int_{\omega_{min}}^{\omega_{max}} \left(\int NI(\omega, \theta) d\theta \right) d\omega$$
 и
$$\Delta N = \int_{\omega_{min}}^{\omega_{max}} \int (NI(\omega, \theta) / \omega) d\theta d\omega$$
 (11)

(видно, что $\Delta E = -P_E(\omega_{max})$ и $\Delta N = -P_N(\omega_{max})$)

3. Определить причину установления спектра $\underline{S_{AM}(\omega)} \sim \omega^{-4}$.

Для этой цели были выполнены расчеты функций потоков

$$P_E(\omega) \quad \text{и} \quad P_N(\omega)$$

для двух режимов численного решения КУ:

а) с сохранением энергии **E** на каждом шаге счета **КИ**

б) с сохранением волн. действия **N** на каждом шаге счета **КИ**

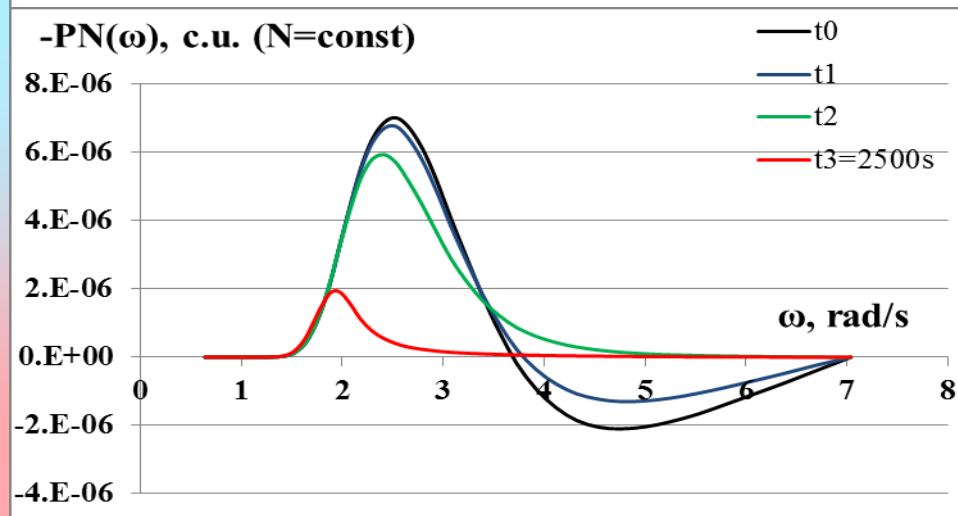
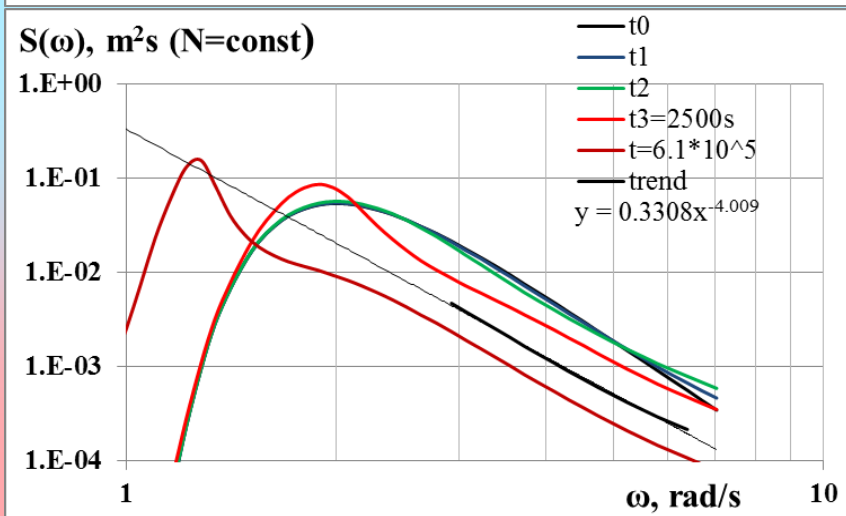
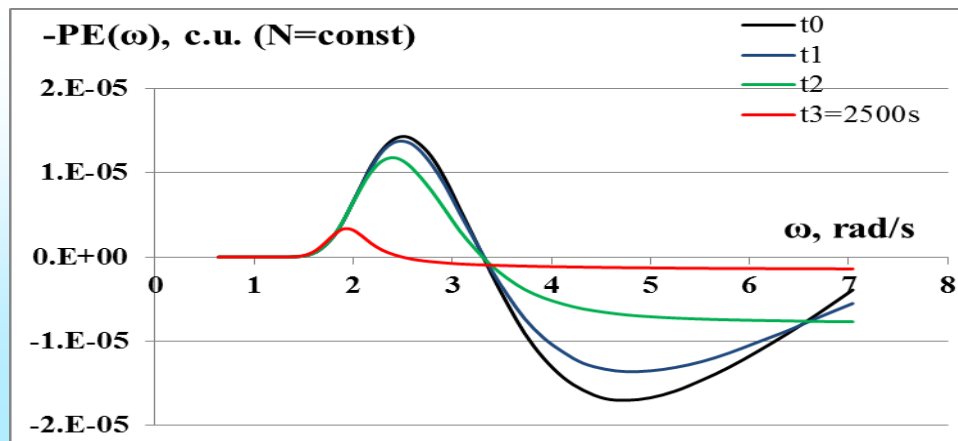
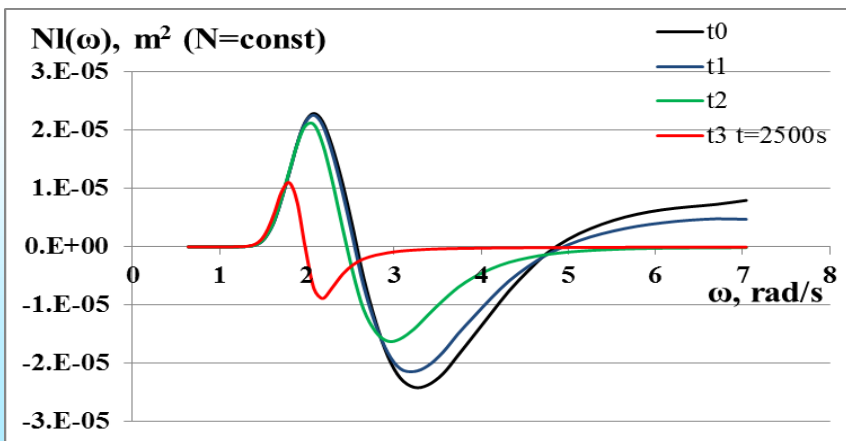


Поиск интерпретации решений КУ

Расчет потоков



Счет КУ с сохран. волн. действия N ($n=5, \gamma=1.0, \Psi=c$)



1) Устанавливается спектр $\underline{S_{AM}(\omega) \sim \omega^{-4}}$,

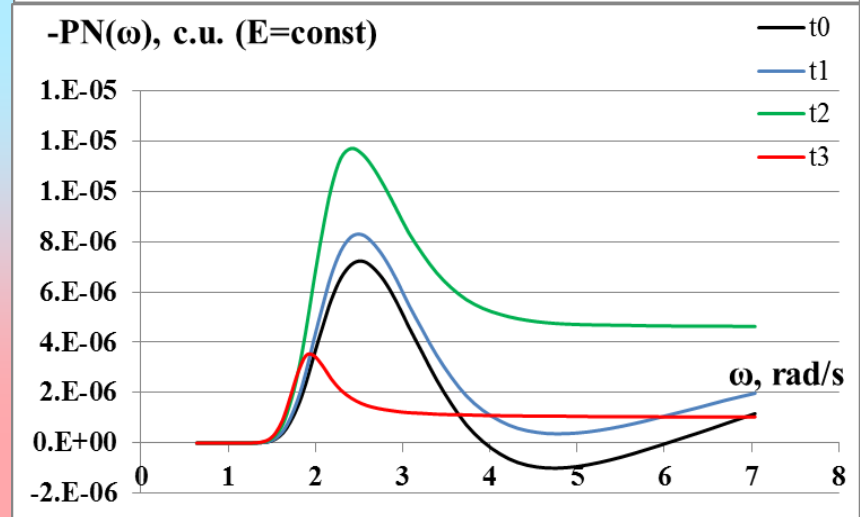
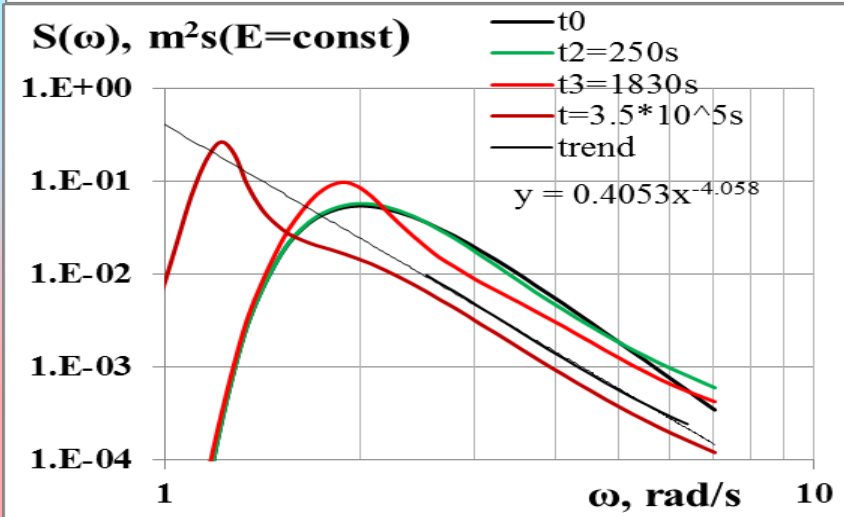
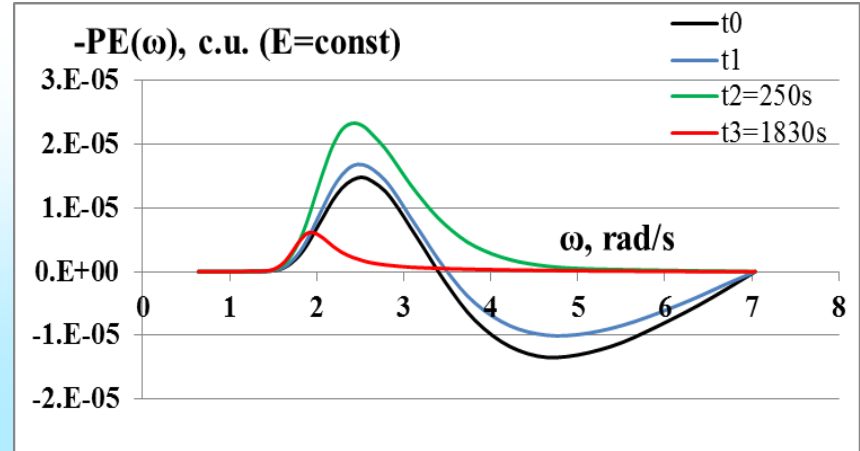
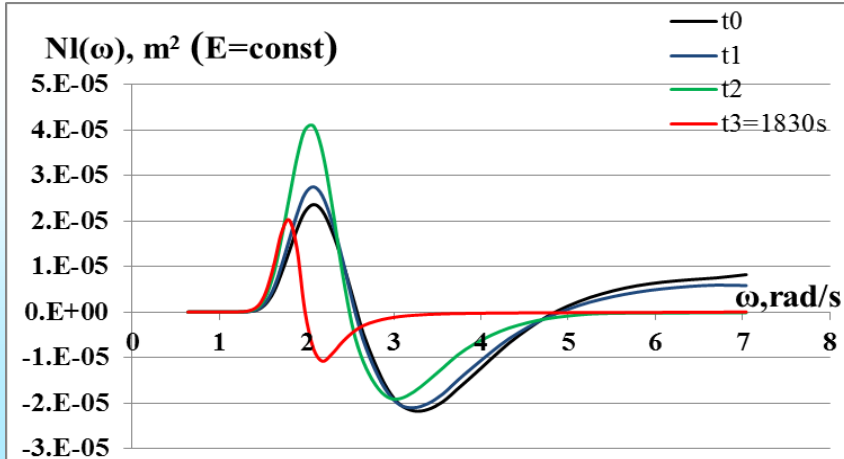
2) $\Delta N = -P_N(\omega_{max}) = 0$, но есть поток $P_E(\omega_{max})$ вверх по част(!) и $\Delta E < 0(!)$ ¹⁹



Поиск интерпретации решений КУ Расчет потоков



Счет КУ с сохранением энергии E ($n=5, \gamma=1.0, \Psi=c$)



- 1) Устанавливается тот же по виду спектр $S_{AM}(\omega) \sim \omega^{-4}$,
- 2) $\Delta E = -P_E(\omega_{max}) = 0$ но есть поток $P_N(\omega_{max})$ вниз по част(!) и $\Delta N > 0$!



Поиск интерпретации решений КУ Хвост спектра $S_{am}(\omega)$ и выше него



Характер эволюции хвоста спектра

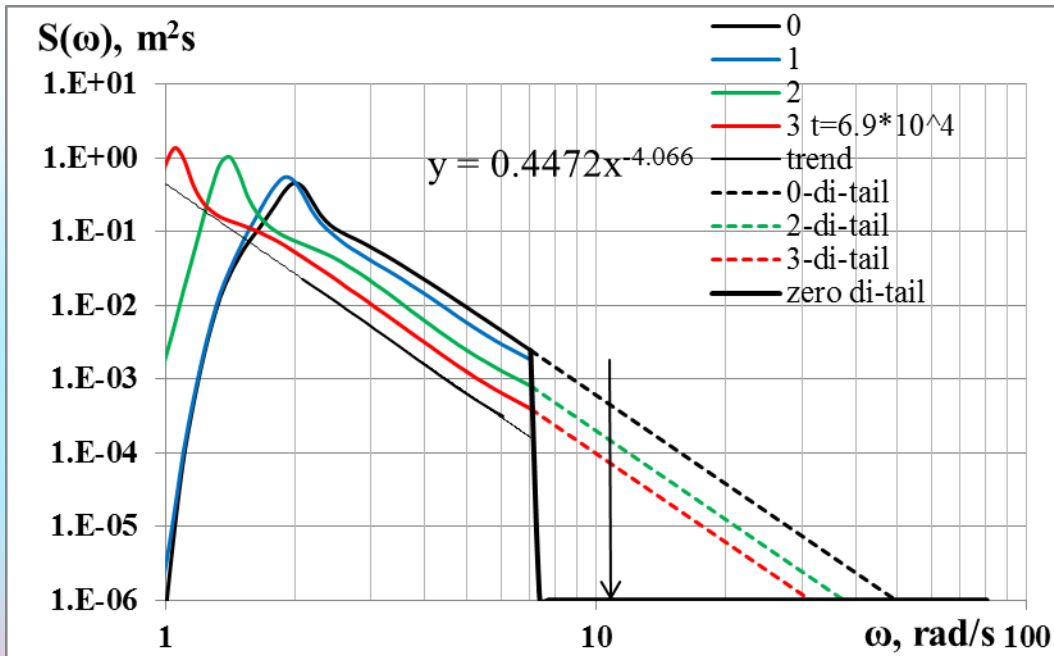


Рис.10. Пояснение к расчетной форме хвоста. Стрелка-предельная частота в 4-в конфигураци. Сплошная жирная-полное отрезание хвоста при учете диссипации за пределами расч. области (Бадулин др. 2005)

Выводы:

В реш. КУ(1) всегда ($E=c$ или $N=c$) устанавливается хвост $\underline{S_{AM}(\omega)} \sim \omega^{-4}$.

(У нас выше по частоте ($\omega > \omega_{max}$) идет диагностический хвост $S_{DI}(\omega) \sim \omega^{-4\pm}$)

Результат решения КУ не зависит от вида потока при $\omega \gg \omega_p(!)$.

Уходящие или приходящие потоки адсорб. или пород. хвостом спектра

Т.о., спектр $\underline{S_{AM}(\omega)} \sim \omega^{-4}$ никак не определяется потоками P_E и P_N ,

а его вид есть внутреннее свойство КИ.



Интерпретация решений КУ



В отличие от трактовок установившихся форм спектра

$$\underline{S(\omega) = c \cdot \omega^{-4}}$$

как спектров Колмогорова-Захарова

(Пушкарев др. 2003; Бадулин др. 2005, которые решали КУ (2) при $N = \text{const}$),

мы трактуем эти спектры

как нестационарный аналог аналитического решения

полученного в работе Захарова-Филоненко (ДАН, 1966)

для

бездиссипативного («чистого») КУ вида

$$\partial S(\omega, \theta) / \partial t = I_{NL}[S(\omega, \theta)].$$



Интерпретация решений КУ



Основания для новой трактовки решения КУ таковы:

- 1) Независимо от режима числ. решения задачи ($E=c$ или $N=c$), формируется а/м пик, при котором всегда хвост $S_{AM}(\omega) \sim \omega^{-4}$;
- 2) При а/м пике, на хвосте $S_{AM}(\omega)$, $Nl(\omega)$ всегда отрицателен, оч., но не равен 0(!). Форма $Nl(\omega) \sim -\omega^{-4}$ обеспечивает устан. и а/м эволюцию $S_{AM}(\omega, t)$.
- 3) Наличие постоянных (колмогоровских) потоков P_E и P_N никак не сказывается на характере решения КУ (1).

Главную роль играет пик спектра и нелокальность НЛП,
Т.е. имеет место нарушение постулатов теории Колмогорова

Математика процесса такова, что во время эволюции формируется а/м пик спектра в обл. (ω_p, θ_p) , обеспечивающий отрицательный НЛП формы $Nl(\omega) \sim -\omega^{-4}$, который и стабилизирует форму решения КУ (1) вида $S_{AM}(\omega) \sim \omega^{-4}$.



Выводы



1. Асимптотику спада $Nl(\omega)$ на выс.ч. определяют: форма пика в обл. (ω_p, θ_p) форма, его угловая ф-ция и хвост спектра. С уменьшением скорости спада $S(\omega)$ снижается спад и интенсив. положительной асимпт. $Nl(\omega)$. При $S(\omega) \sim \omega^{-4}$ хвост $Nl(\omega) \sim -\omega^{-4} < 0$.
2. При форме хвоста $S(\omega) \sim \omega^{-4}$ и особой, а/м 2D-форме пика спектра, устанавливается асимптотика $Nl(\omega) \sim -\omega^{-4}$, что и обеспечивает форму решения КУ (1) вида $S_{AM}(\omega) \sim \omega^{-4}$.
3. А/м форма решения $S_{AM}(\omega) \sim \omega^{-4}$ не определяется наличием постоянных (или перемен.) потоков эн. P_E и в.д. P_N по спектру.
4. Из п.3 следует, что а/м численные решения КУ(1) вида $S_{AM}(\omega) \sim \omega^{-4}$ не являются колмогоровскими спектрами.
5. А/м численные решения «чистого» КУ(1) вида $S_{AM}(\omega) \sim \omega^{-4}$ есть нестационарный аналог аналитического решения Захарова-Филоненко (ДАН, 1996).
Здесь (но не в решении «диссипативного» КУ вида (2)) форма $S_{AM}(\omega) \sim \omega^{-4}$ определяется не физикой потоков по спектру, а математическими свойствами КИ, установленными в (ДАН, 1996).
Т.о. $S_{AM}(\omega) \sim \omega^{-4}$ есть непотокосый спектр ЗФ (!), а не сп. КЗ.



Основная литература



- 1. Захаров В.Е., Филоненко Н.Н.** Спектр энергии для стохастических колебаний поверхности жидкости // Доклады АН СССР. 1966. Т. 170, №6. С. 1292-1295
- 2. Захаров В.Е., Заславский М.М.** Интервалы накачки и диссипации в кинетическом уравнении слаботурбулентной теории ветровых волн // Изв. АН СССР. ФАО. 1982. 18, №10. С.1066-1026.
- 3. Полников В.Г.** Расчет нелинейного переноса энергии по спектру поверхностных гравитационных волн // Изв. АН СССР. ФАО.1989.Т. 25, №11. С.1214-1225.
- 4. Полников В.Г.** Численное решение кинетического уравнения для поверхностных гравитационных волн // Там.же. 1990. Т. 26, №2. С.168- 176.
- 5. Resio, D., and Perry, W.:** A numerical study of nonlinear energy fluxes due to wave-wave interactions., **J. Fluid Mech.**, 223, 603-629, 1991
- 6. Van Vledder G.** The WRT method for the computation of non-linear four-wave interaction in discrete spectral wave m. **J. Coastal Engineering**, 2006.V.53,P. 223-242.
- 7. Pushkarev A. N., D. Resio, and V. E. Zakharov.** Weak turbulent approach to the wind generated gravity seas waves//**Physica D**; 2003. v. 184, pp 29-63.
- 8. Badulin S. I., A. N. Pushkarev, D. Resio, and V. E. Zakharov** Self-similarity of wind-driven seas // **Nonlinear Processes in Geophysics**, 12, 891–945, 2005 . 25